

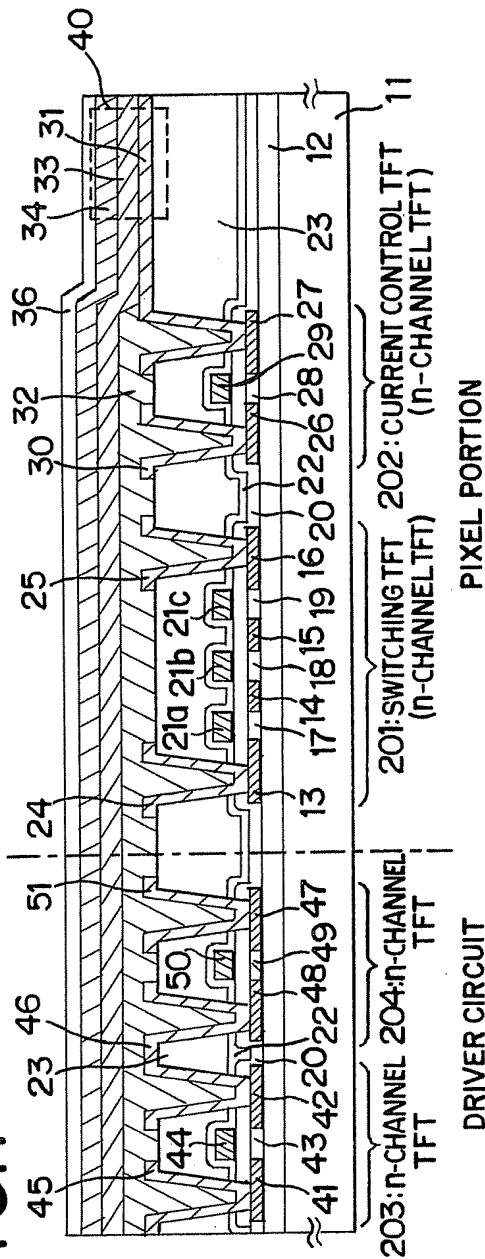
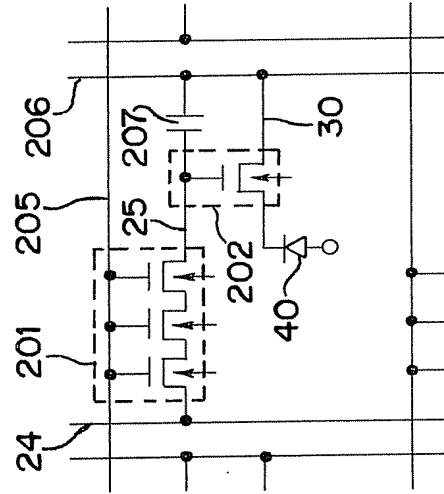
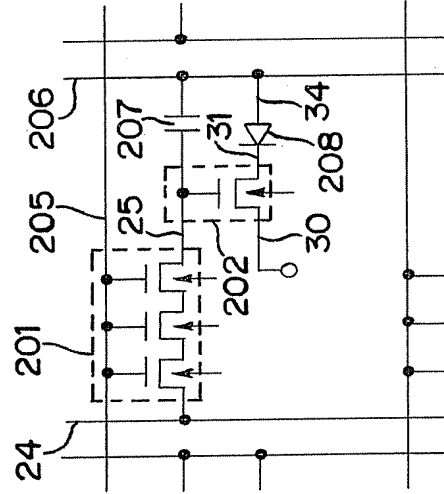
**FIG.1****FIG.2A****FIG.2B**

FIG.3A

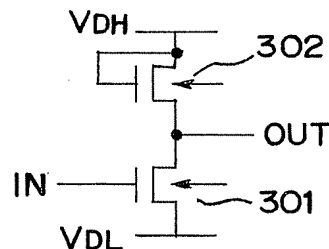


FIG.3B

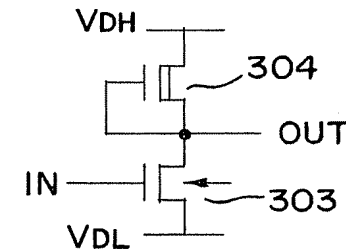


FIG.4A

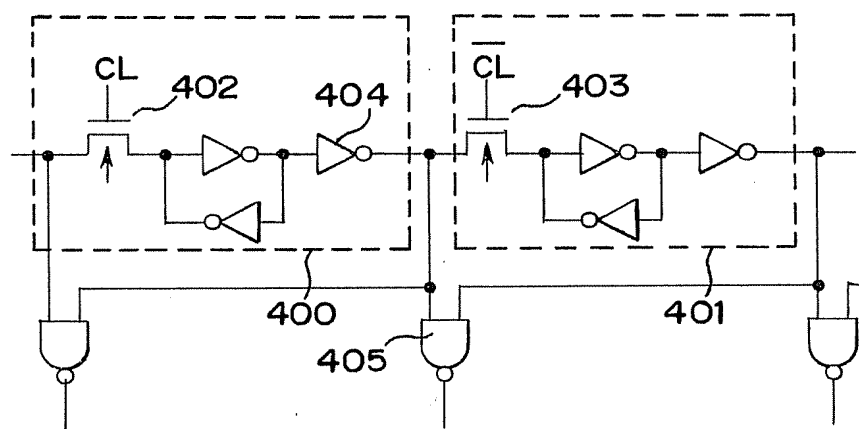
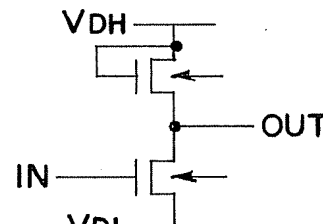


FIG.4B



or

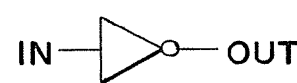
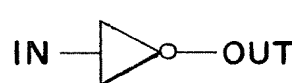
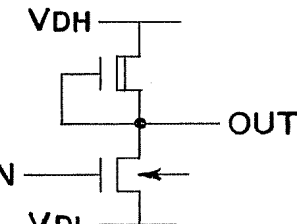


FIG.5A

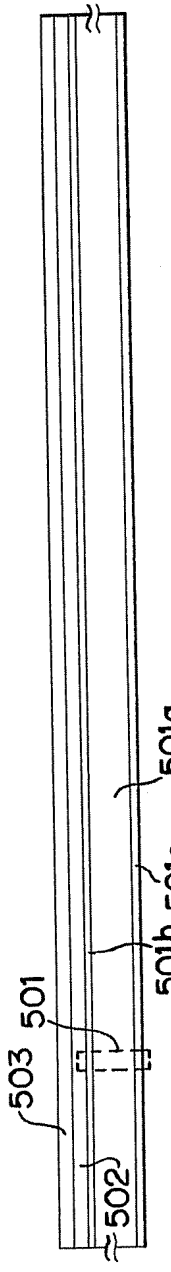


FIG.5B

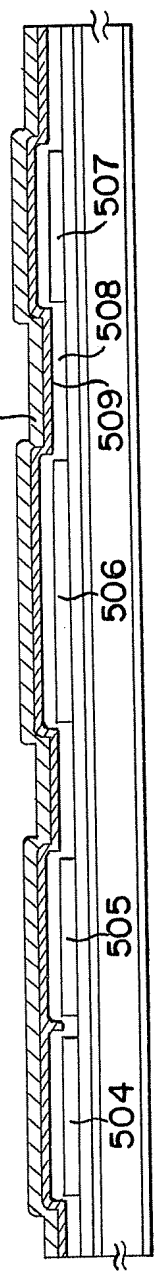


FIG.5C

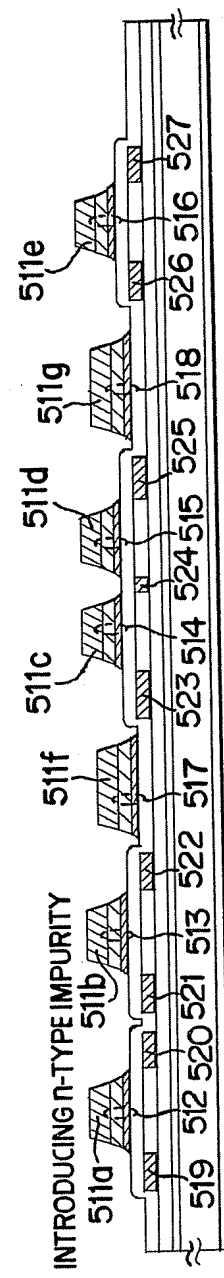


FIG.5D

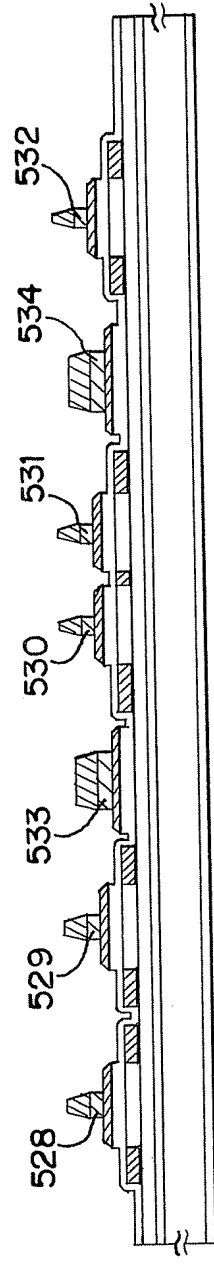
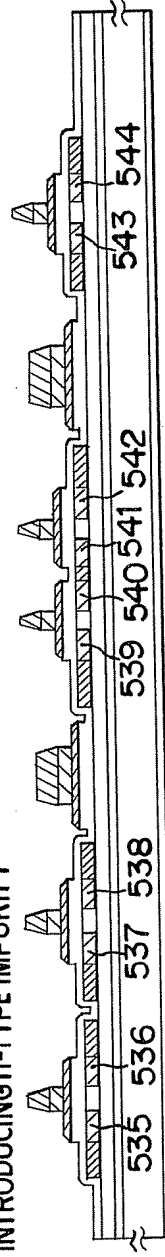


FIG.5E



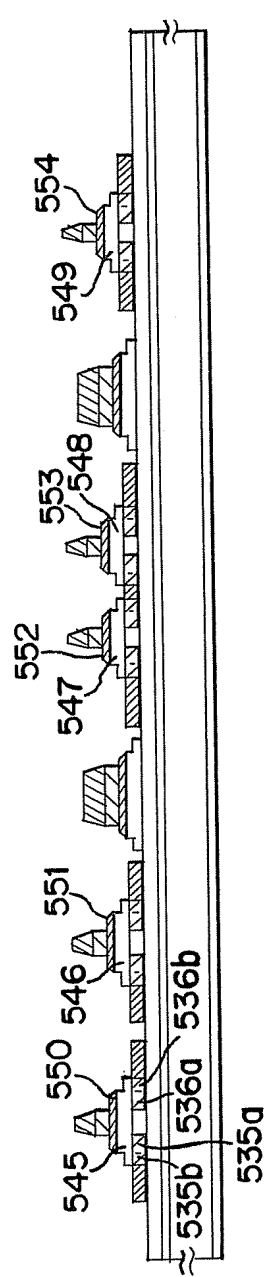


FIG. 6A

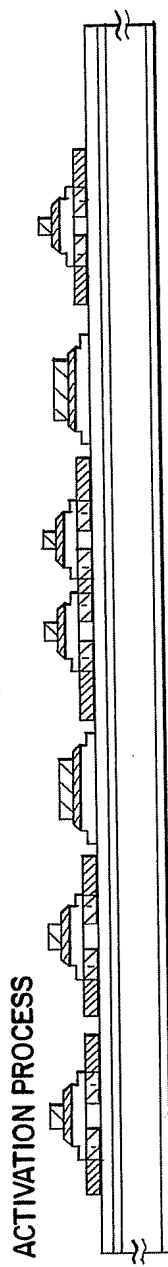


FIG. 6B

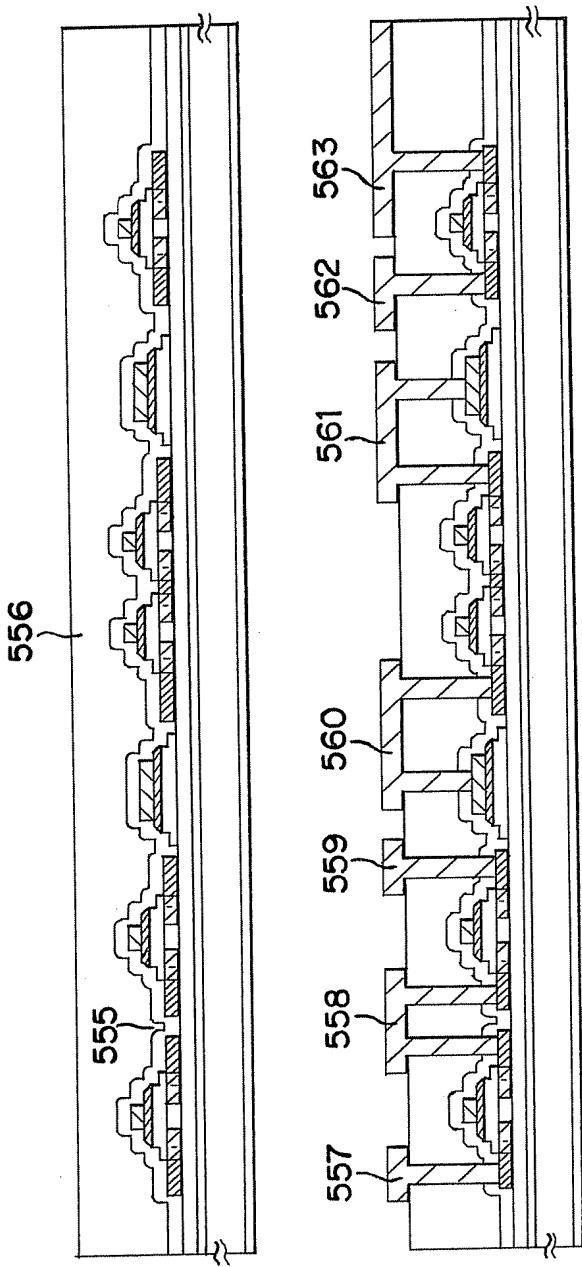


FIG. 6C

FIG. 6D

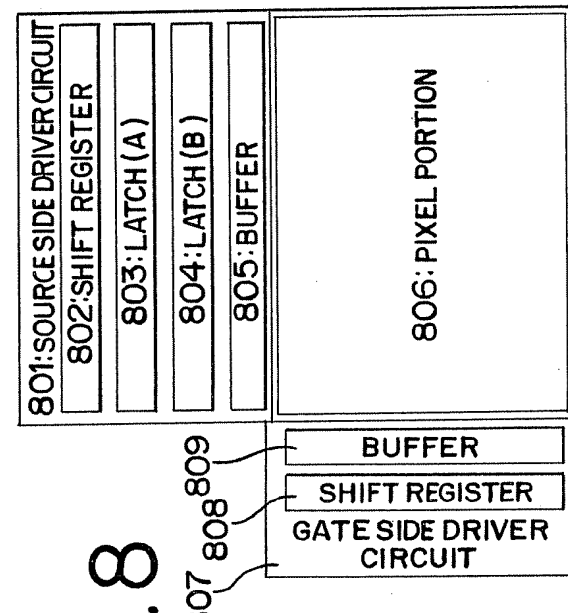
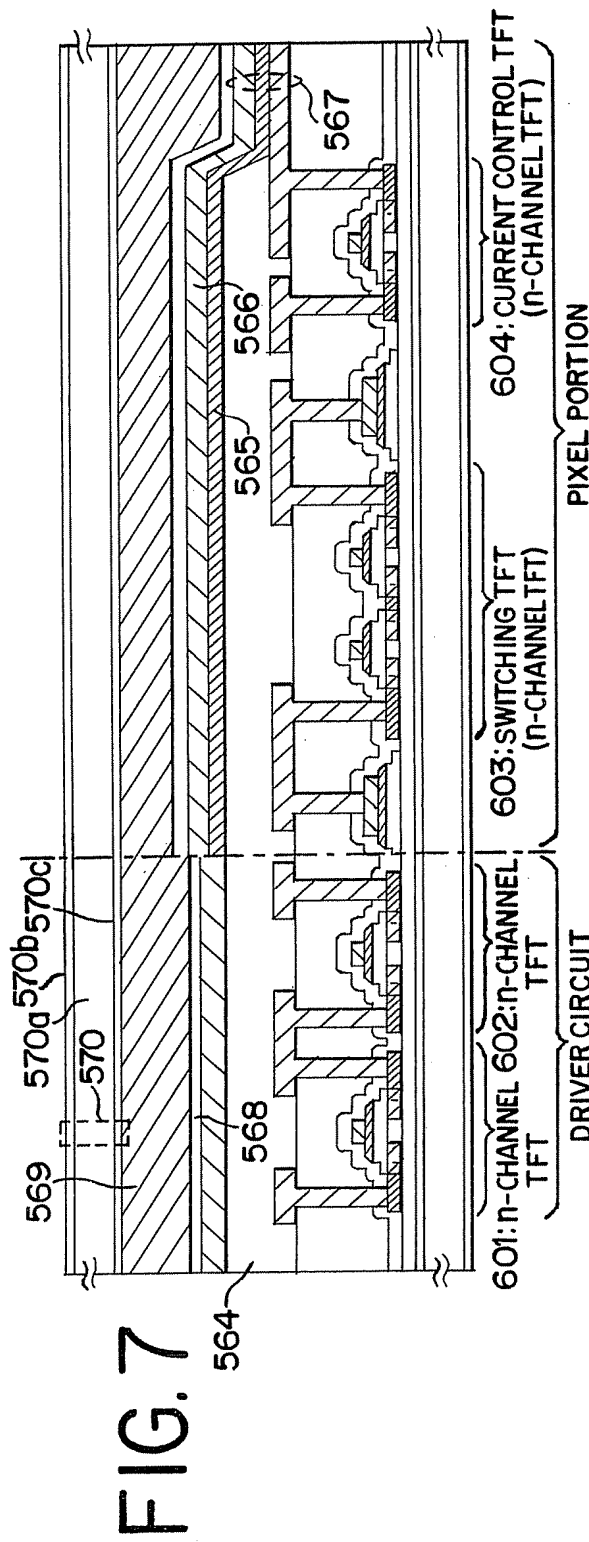


FIG. 9A

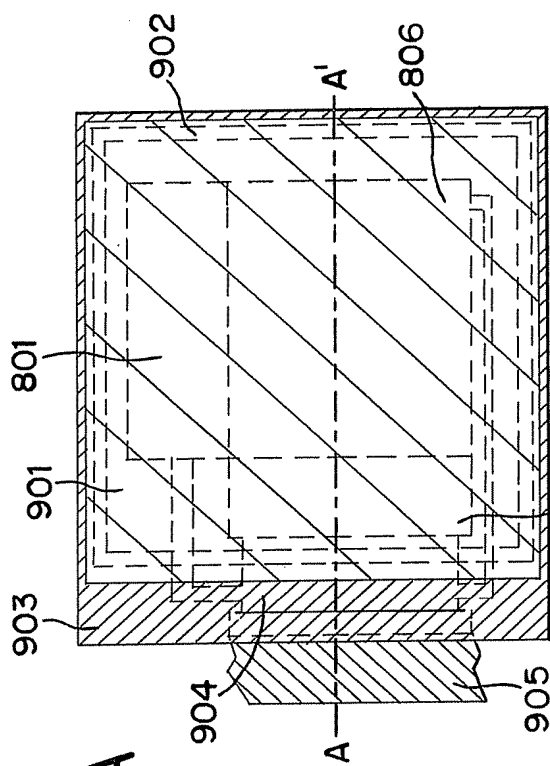
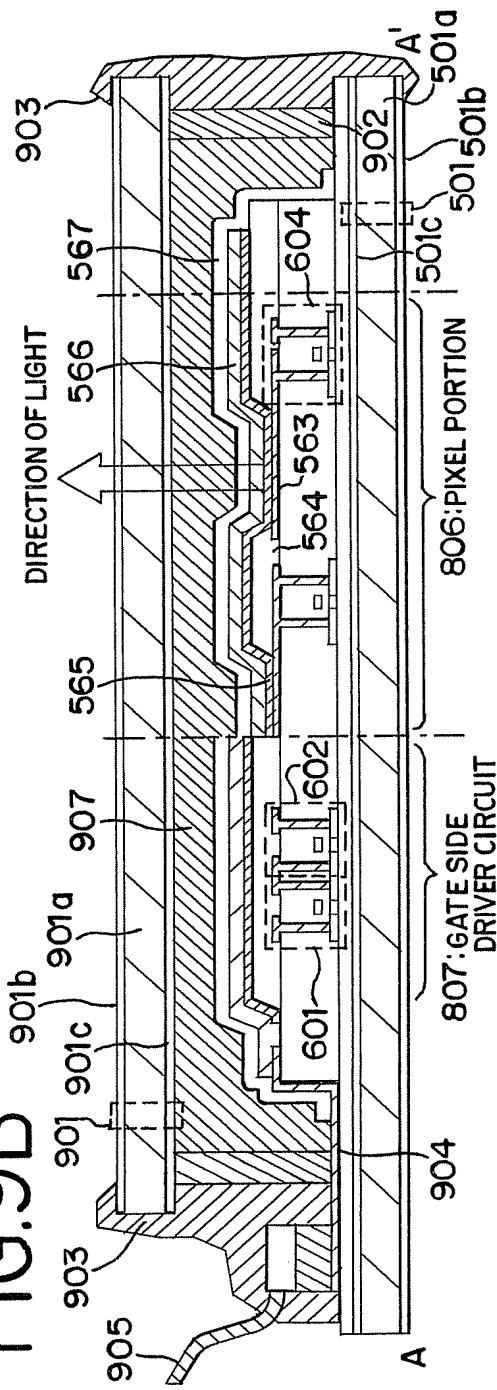


FIG. 9B



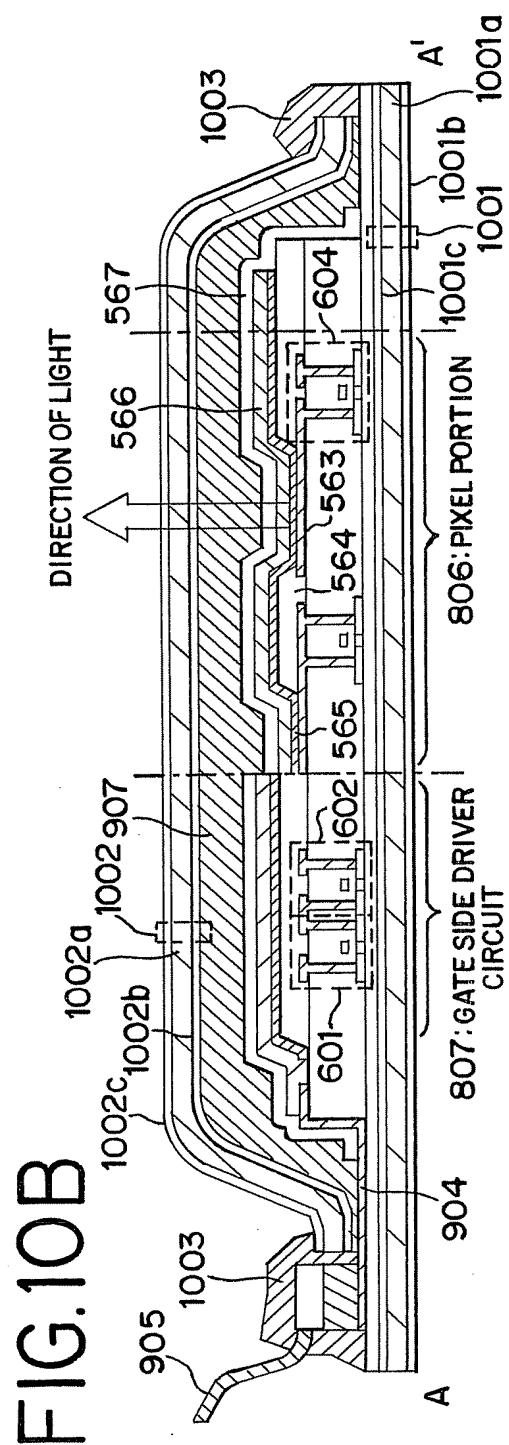
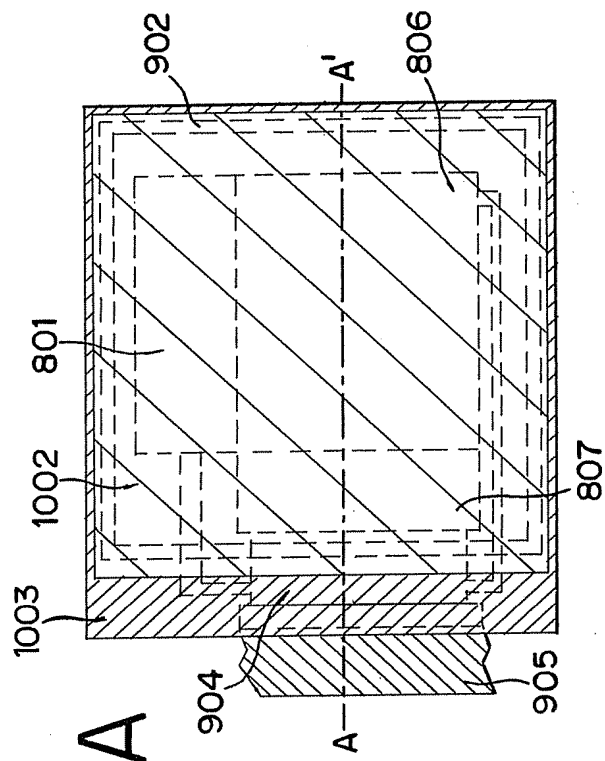


FIG.11A

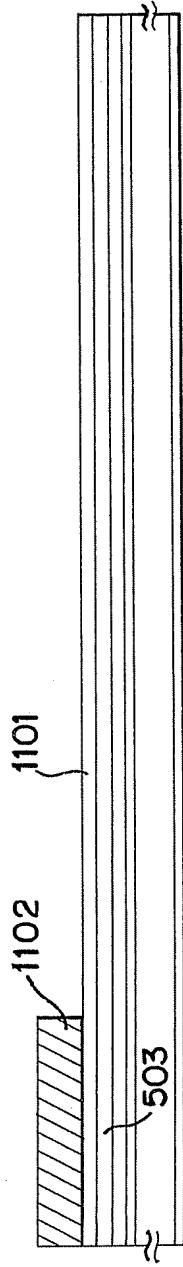


FIG.11B

INTRODUCING p-TYPE IMPURITY

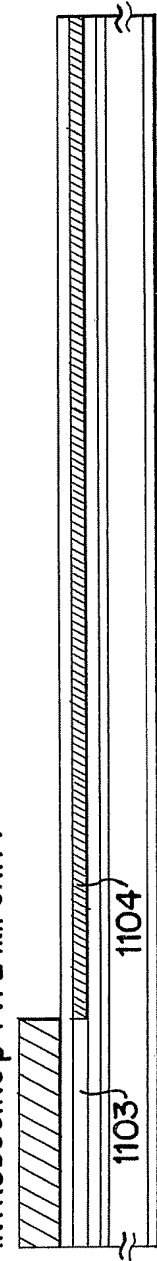


FIG.11C

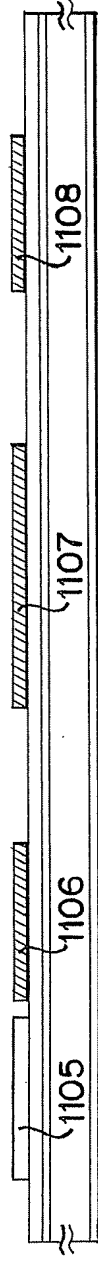


FIG.12

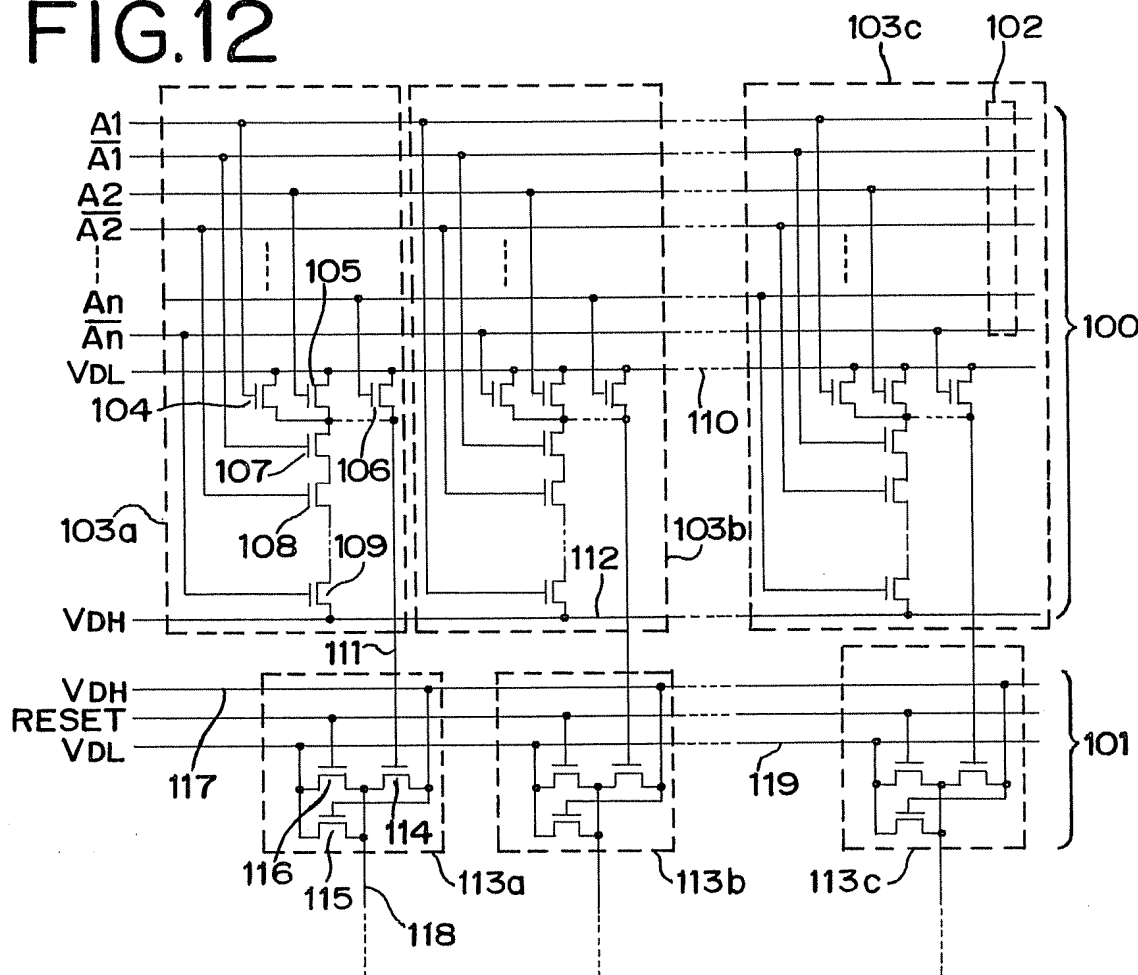


FIG.13

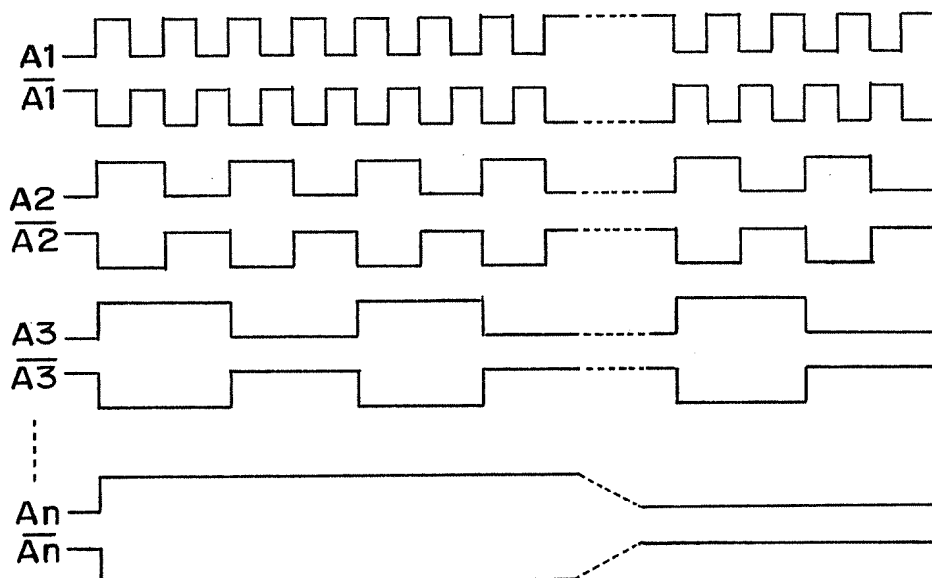


FIG.14

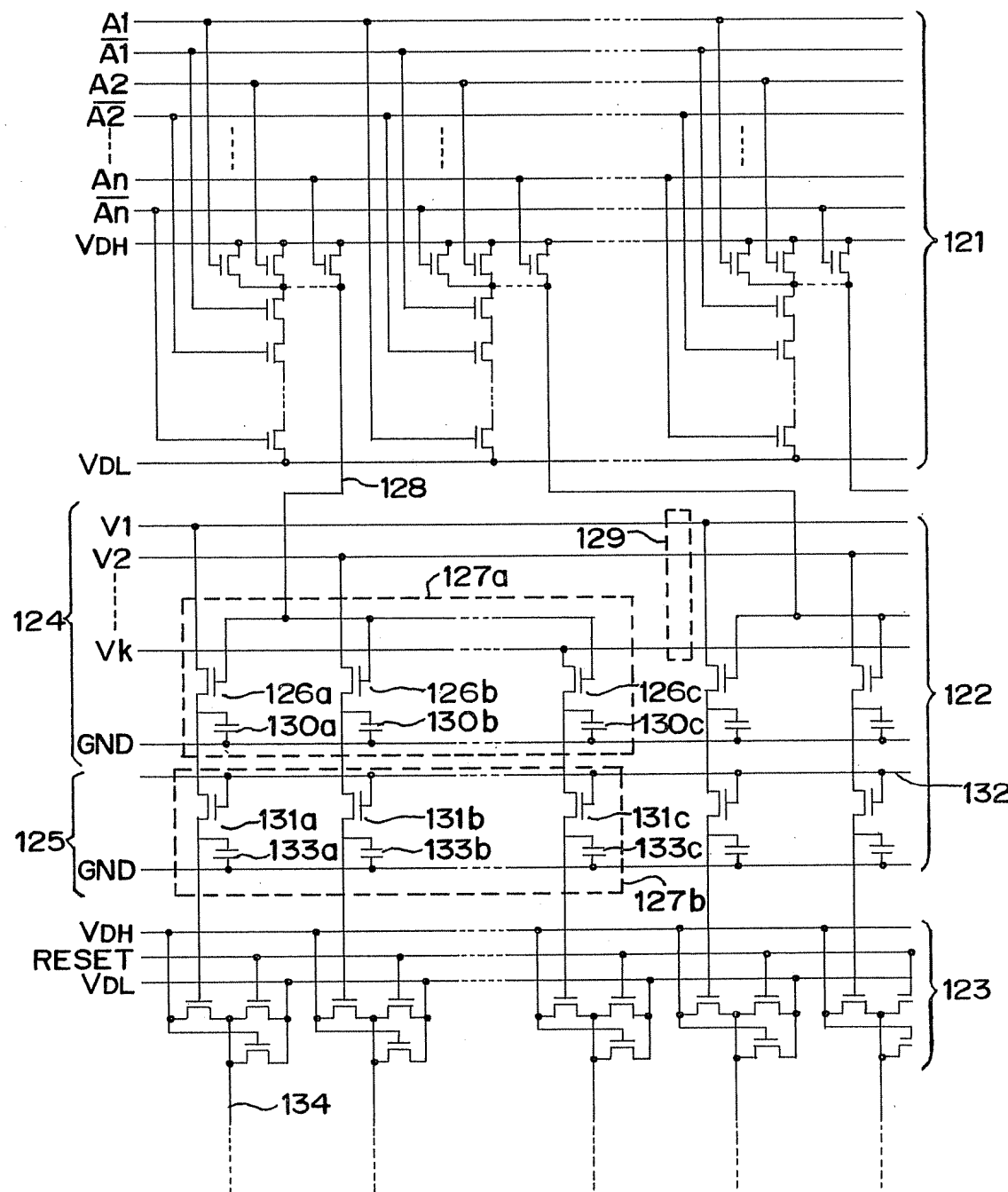


FIG.15

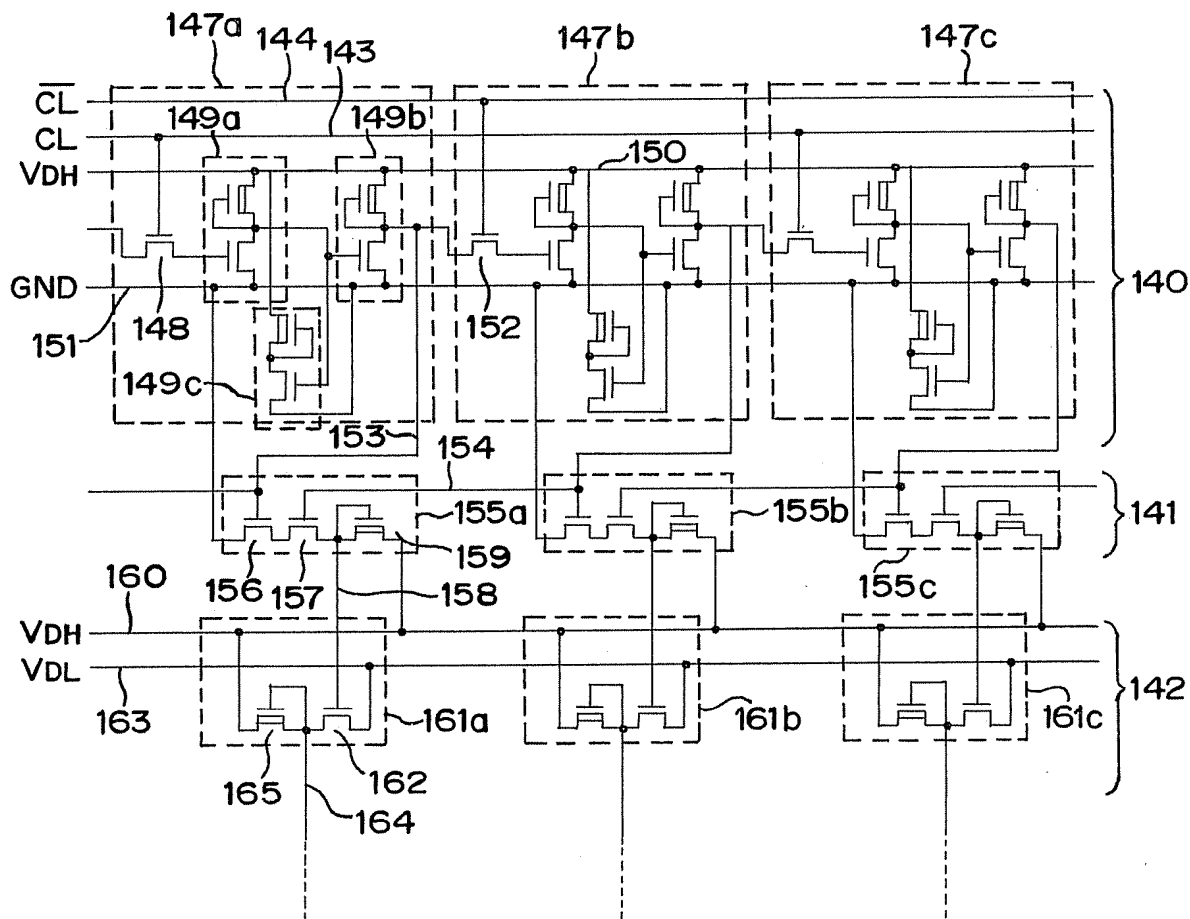
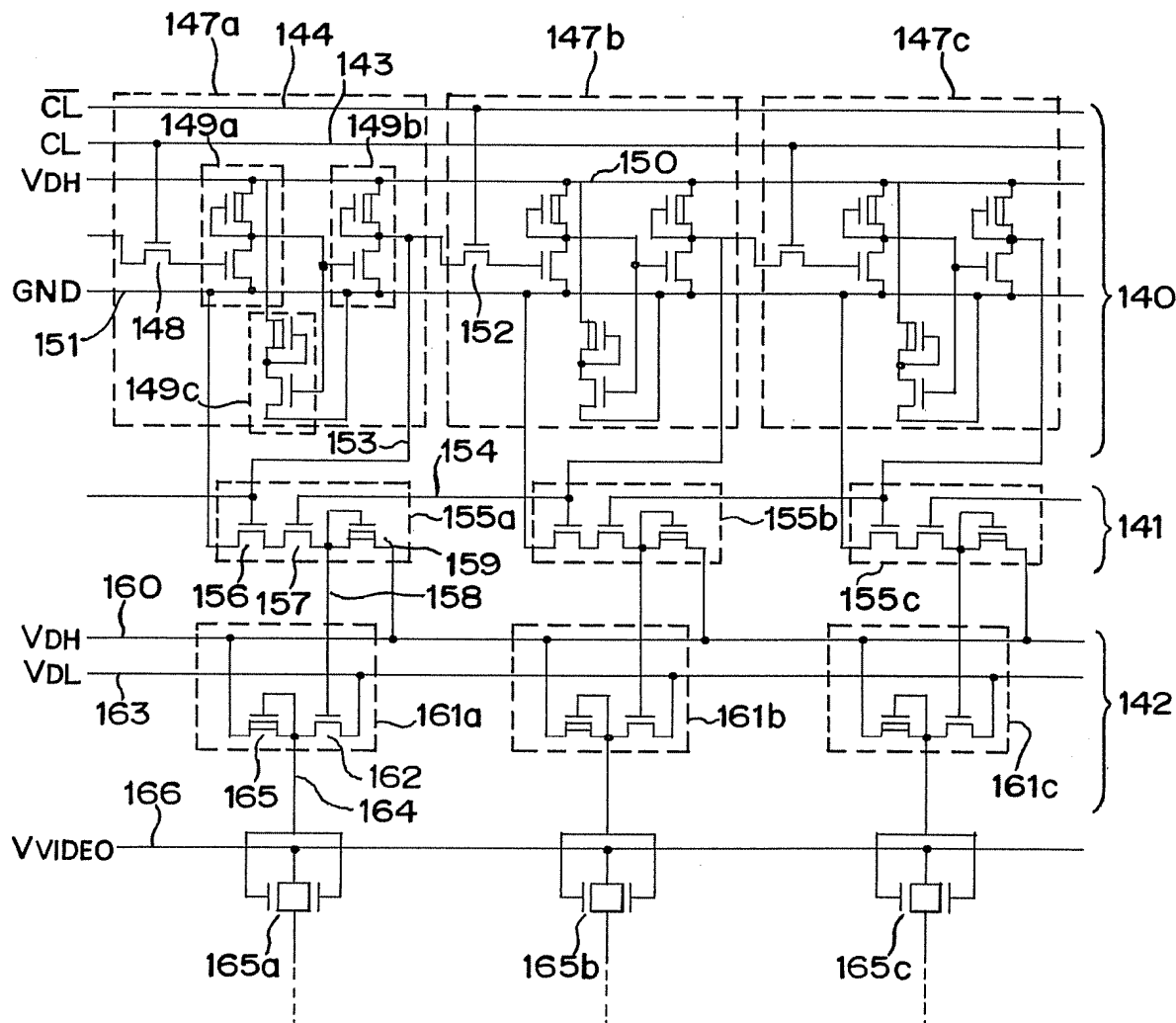


FIG. 16



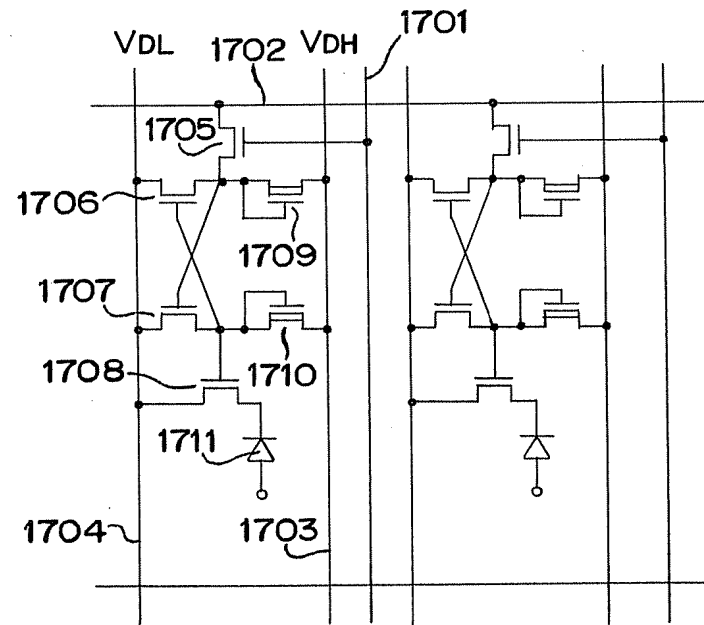
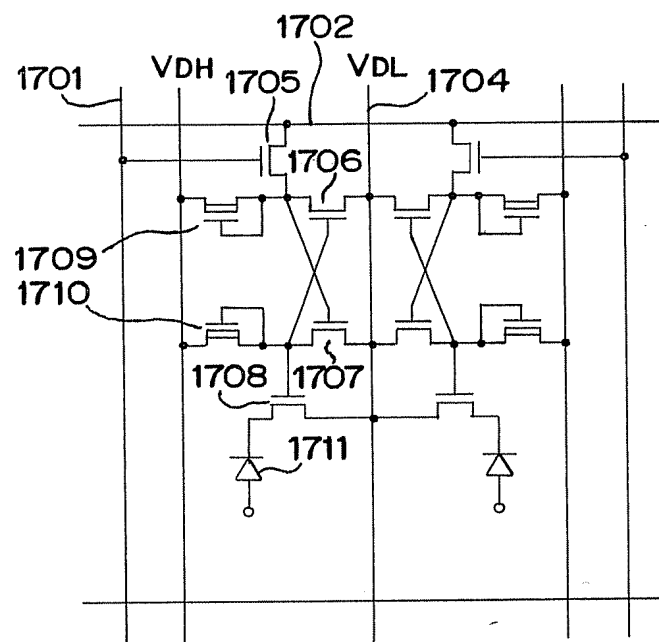
**FIG.17A****FIG.17B**

FIG.18A

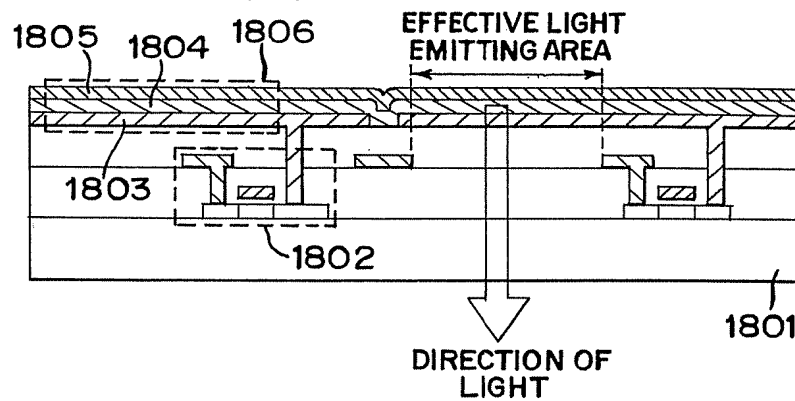


FIG.18B

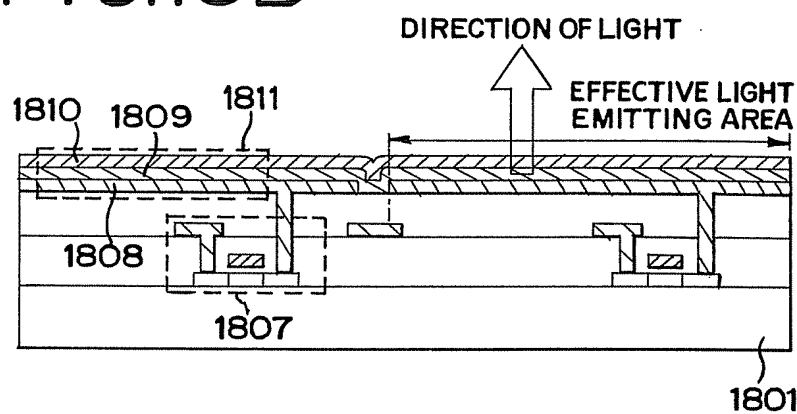


FIG.19A

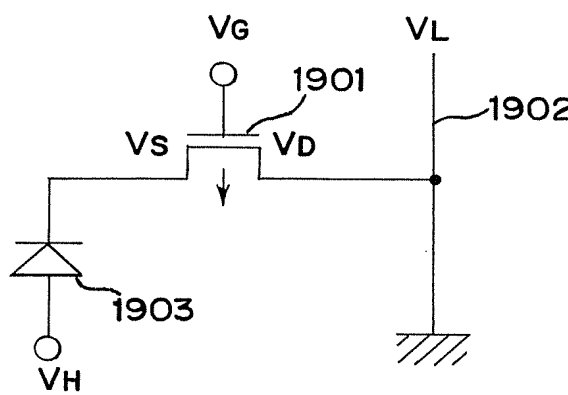
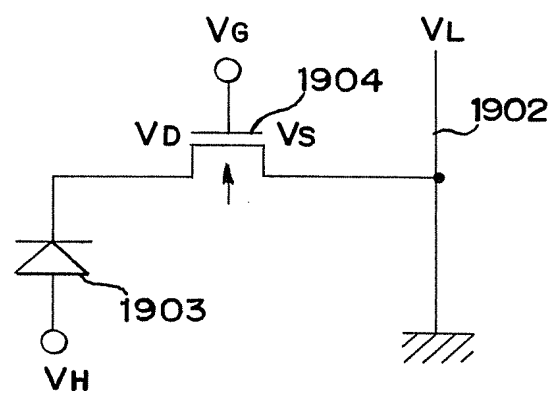


FIG.19B



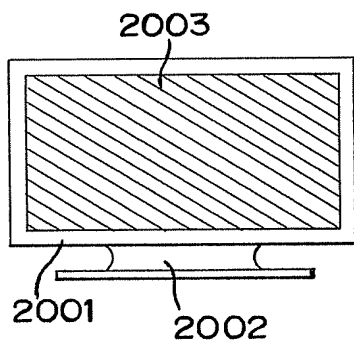
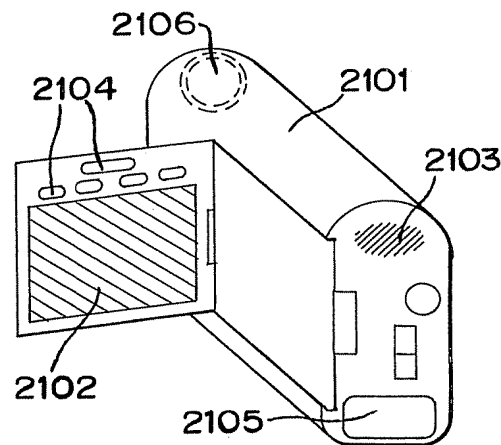
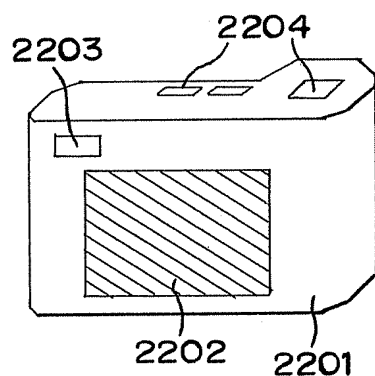
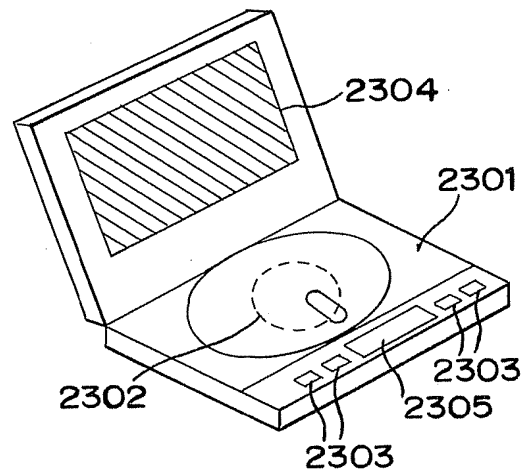
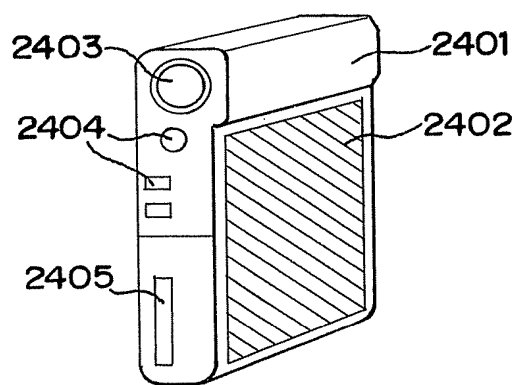
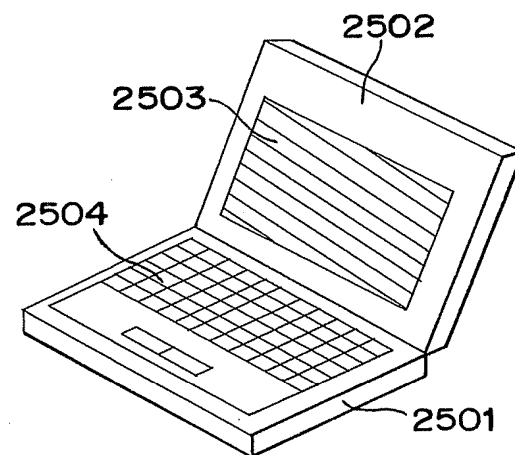
**FIG.20A****FIG.20B****FIG.20C****FIG.20D****FIG.20E****FIG.20F**

FIG.21A

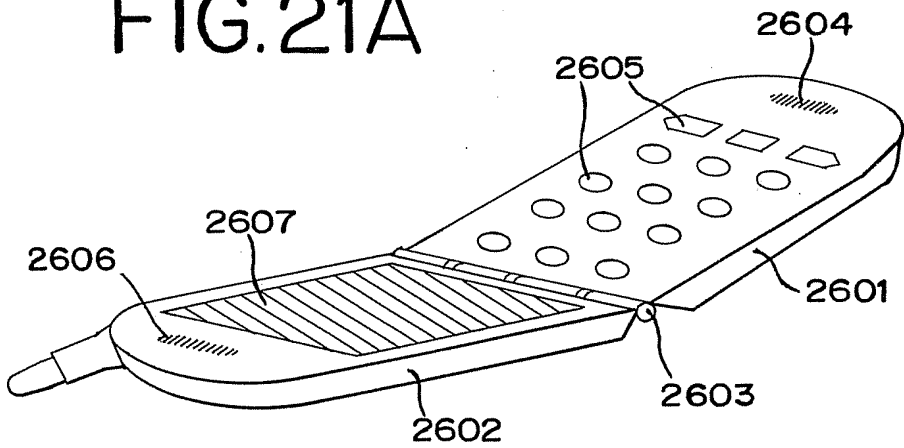


FIG.21B

